



T.			$U_f$ V	$I_f$ A	Cl.	$U_a$ V	$U_g$ V	$I_a$ mA	S mA/V	$R_j$ k $\Omega$	$\mu$ V/V	$R_k$ k $\Omega$	$R_o$ k $\Omega$	$P_o$ W	$U_{g\approx}$ V	h %
6 AU 7	amer	1	3,15/6,3	0,6/0,3	{ stat. stat. stat. stat. A 1 AB HD VD stat. }	100	0	11,8	3,2	6,25	20					
7 AU 7	amer	1	3,5/7	0,6/0,3		170	4	10	2,5	7,2	18					
9 AU 7	amer	1	4,7/9,4	0,45/0,225		200	5,5	11	2,5	7,2	18					
12 AU 7 (=6C4x2)	int	1	6,3/12,6	0,3/0,15		250	8,5	10,5	2,2	7,7	17		1	13	0,27	5,9
						250	9,4	9,2 ÷ 9,6				0,8	30	0,715	8,2	4
						300	-600	(6,6 ÷ 7,2) x 2								
						1200	-250									
						300										

maximum  $I_k = 250$  mA  
 maximum  $I_k = 60$  mA  
 maximum ( $P_a = 2,75$  W;  $I_k = 20$  mA;  $U_{fk} = 180$  V)

T.	$C_{g/k}$	$C_{a/k}$	$C_{a/g}$	$C_{g/f}$	$C_{o/g}^{II}$	$C_{a/g}^{II}$	$C_{o/a}^{II}$	$C_{g/g}^{II}$
	pF	pF	pF	pF	pF	pF	pF	pF
6 AU 7	I triod. 1,8 II triod. 1,8	0,5 0,37	1,6 1,6	0,14 0,14	0,09 0,05	1,1 1,1	0,008 0,008	

Equivalents 12AU7

B 329	MOG	ECC 802 <sup>2)</sup>	Lor	6 CC 40	5814	amer
CC 82 E <sup>1)</sup>	Sim	ECC 802 S <sup>1)</sup>	Tif	12 AU 7 A	5814 A	amer
CK 5814	Ray	GL 5814	GE	12 AU 7 WA <sup>3)</sup>	5814 WA <sup>3)</sup>	amer
CK 5814 A	Ray	M 8136 <sup>3)</sup>	Mul	12 AU 7 R	6067 <sup>2)</sup>	Bri
CK 5814 WA <sup>2)</sup>	Ray	QB 329 <sup>2)</sup>	Marc	12 AU 7 S <sup>1)</sup>	6189 <sup>2)</sup>	amer
ECC 82	eur					

<sup>1)</sup> vide \* 4, a, b, c = 10000, f, g ( $U_f = 6,3/12,6$  V  $\pm$  5 %)

<sup>2)</sup> vide \* 4, a, b, c = 10000, f, g ( $U_f = 6,3/12,6$  V  $\pm$  10 %;  $I_f = 0,35/0,175$  A)

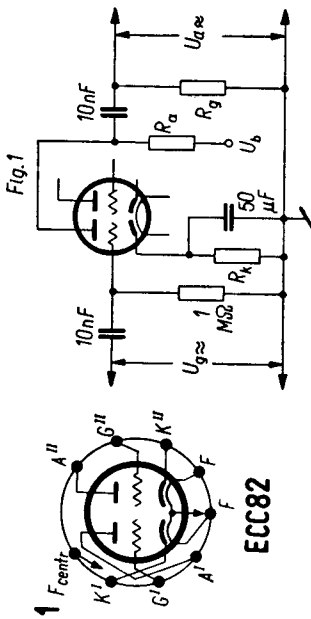


Fig. 2

$U_b$	$I_a$	$U_{g2}$	$\mu$	$h$
V	mA	V	$U_{a2}/U_{g2}$	%
250	1,66	15	178	2
350	2,33	25	178	2

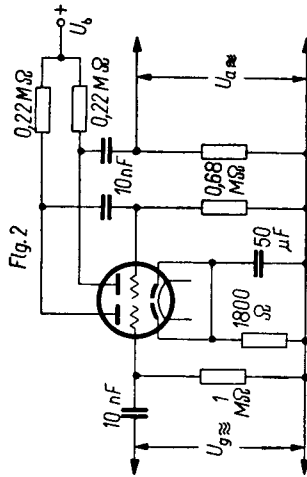


Fig. 3

$U_b$	$I_a'$	$I_a''$	$U_{g2}$	$\mu$	$h$
V	mA	mA	V	$U_{a2}/U_{g2}$	%
250	0,82	4,5	13	11	1,5
350	1,16	6,3	20	11	1,5

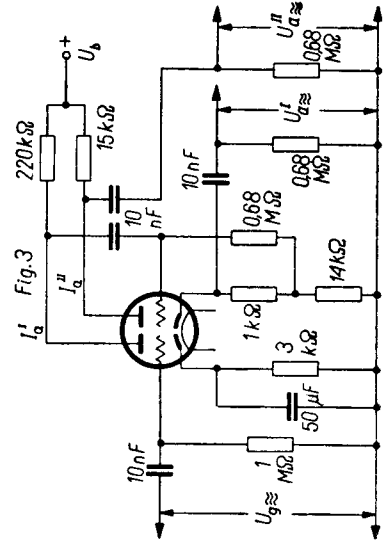


Fig. 4

$U_b$	$I_a'$	$I_a''$	$U_{g2}$	$\mu$	$h$
V	mA	mA	V	$U_{a2}/U_{g2}$	%
250	0,7	0,68	15	11	1
350	1,0	0,93	24	11	1

Fig. 1

$U_b$	$R_a$	$R_g$	$R_k$	$I_a$	$U_{g2}$	$\mu$	$h$
V	MΩ	MΩ	kΩ	mA	V	$U_{a2}/U_{g2}$	%
100	0,047	0,15	1,2	1,2	11	13,5	5,6
100	0,1	0,33	2,2	0,66	10	14	4,8
100	0,22	0,68	3,9	0,33	8	14,5	4
150	0,047	0,15	1,2	1,82	18	13,5	6,1
150	0,1	0,33	2,2	0,98	17	14	5,6
150	0,22	0,68	3,9	0,5	15	14,5	4,4
200	0,047	0,15	1,2	2,41	26	13,5	6,3
200	0,1	0,33	2,2	1,3	25	14	5,8
200	0,22	0,68	3,9	0,66	22	14,5	4,7
250	0,047	0,15	1,2	3,02	34	13,5	6,4
250	0,1	0,33	2,2	1,63	32	14	5,9
250	0,22	0,68	3,9	0,82	28	14,5	4,8
300	0,047	0,15	1,2	3,65	43	13,5	6,5
300	0,1	0,33	2,2	1,97	41	14	6,0
300	0,22	0,68	3,9	0,98	36	14,5	4,9
350	0,047	0,15	1,2	4,3	51	13,5	6,6
350	0,1	0,33	2,2	2,3	49	14	6,1
350	0,22	0,68	3,9	1,16	43	14,5	5,0
400	0,047	0,15	1,2	5	59	13,5	6,7
400	0,1	0,33	2,2	2,62	57	14	6,2
400	0,22	0,68	3,9	1,31	50	14,5	5,1

